

揚水試験における水位低下のパターンの考察

岐阜大学工学部 正員 ○ 宇野 尚雄
新宮高等学校 " 新井 博
帝國建設コンサルタント " 西本 広己

揚水試験結果を Jacob 法で整理すると、木理境界条件や地盤帶水層条件により種々の水位低下のパターンが現われ、図-1 や図-2 の型が観察されてい。る。^{1), 2)} これらの詳細は文献 1), 2) に譲るが、観測井の削孔の際の傾斜のため距離 r に誤差を生じて、図-1(c)型のもののが現われることもある。³⁾

これらのパターンの中で理論的解説が十分に与えられていないのが、図-1 (a), (c) や図-2 の型である。本報告はこれらを解説するためには実施した数ケースの条件下の揚水試験の数値解析結果に基づく考察を述べる。

被压带水層(圧縮率 K)の放射状地下水流は水平方向の r を座標、鉛直上向きの s を座標と用いると、連続式と運動式はそれぞれ次式で与えられる。

$$\kappa \frac{\partial h}{\partial t} = \frac{1}{r} \frac{\partial}{\partial r} (r U_r) - \frac{\partial U_r}{\partial s} \quad (1), \quad U_r = -R_s \left(\frac{\partial h}{\partial s} + 1 \right), \quad U_t = -R_s \frac{\partial h}{\partial r} \quad (2)$$

ここで R_s , R_t : r 方向透水係数, h : 壓力水頭

解析対象は揚水井半径 r_0 、影響半径 $(R+r_0)$ の被压带水層で、層厚 6m(一層のとき) 及び上層 3.6m、下層 2.4m(2 層のとき)とした。 $R=23m$, $r_0=0.15m$ 及び $0.075m$ の島モード⁴⁾ に対して差分法により解析した。計算した数ケースの帶水層条件は表-1 に示す。計算結果は図-3(a)。

表-1 帯水層条件

ケース	透水係数(m/s)	圧縮率(m^{-1})	揚水流量 Q (L/min)	井戸半径 r_0 (m)
①-1 1層 等方性	$R_s=R_t=10^{-4}$	$K=10^{-3}$	60	0.15
①-2 "	"	"	"	0.075
② "	黒方性	$R_s=10R_t=10^{-4}$	"	0.15
④ "	"	$K=10^{-4}$	"	"
⑤ 2層 等方性	$R_s=R_t=R_{t2}=10^{-5}$	$K=10^{-3}$	"	"
⑦ "	"	$R_s=R_t=R_{t2}=10^{-4}$	定圧揚水	"
	$R_t=R_{t2}=R_p=10^{-5}$			

図-5 から図-8 に図示した。

図-4 はケース①と⑦の(a) 帯水層から揚水井への流入流量 Q_o と、(b) 揚水井水位低下 s の経時変化を計算結果と数式解としての Jacob 法の場合の条件を対比しつつ図示したものである。各図中の直線は表-1 の与条件から推定される Jacob の直線である。ケース①, ケース②, ケース⑤ の各場合ほぼ妥当な位置に対応していることがわかる。しかしケース④やケース⑦の場合には予想しがたい実際にある。

図-3 は図-2 の観測値の傾向に酷似しており、揚水井近傍でも初期の水位低下が遅れ

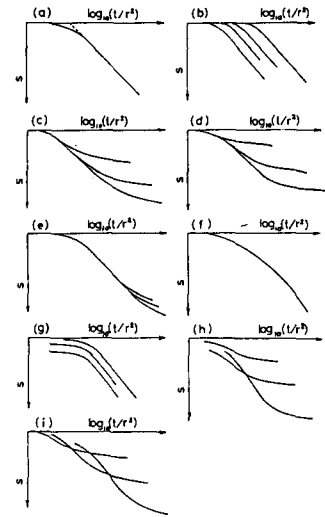


図-1 揚水試験における水位低下のパターン

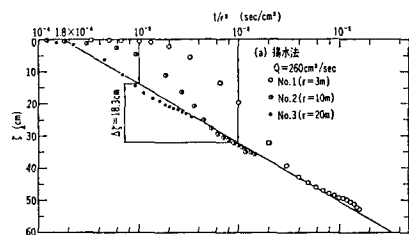


図-2 山内湧水場で観測された水位低下曲線

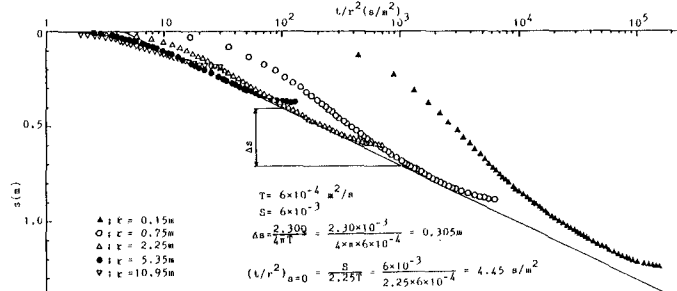


図-3(a) ケース①-1

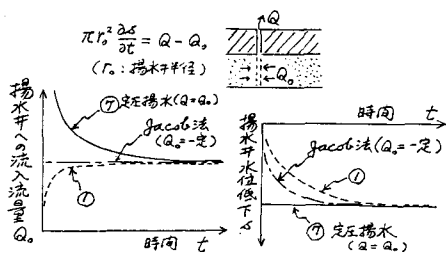


図-4 揚水井水位と揚水流量 Q 、流入流量 Q_0 の関係

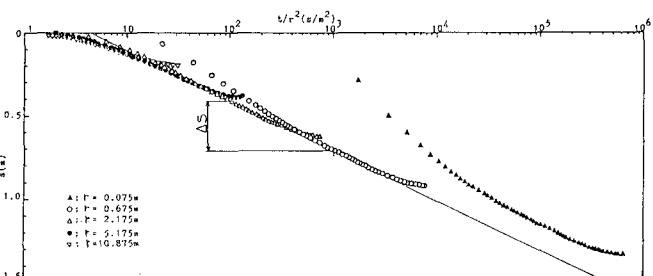


図-3(b) 5-2 ①-2 の水位低下

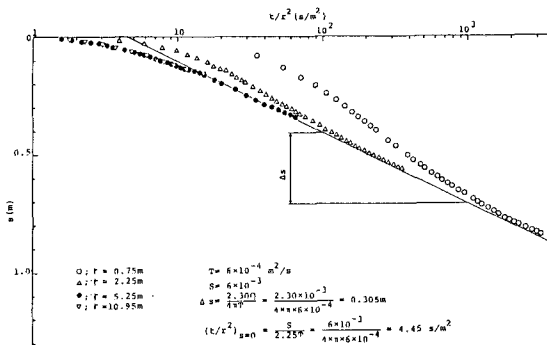


図-5 ケース② の水位低下

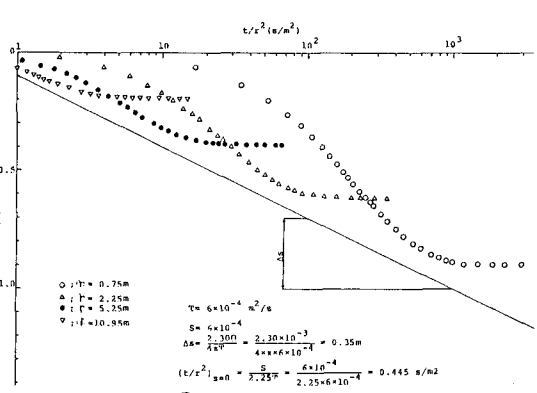


図-6 ケース④ の水位低下

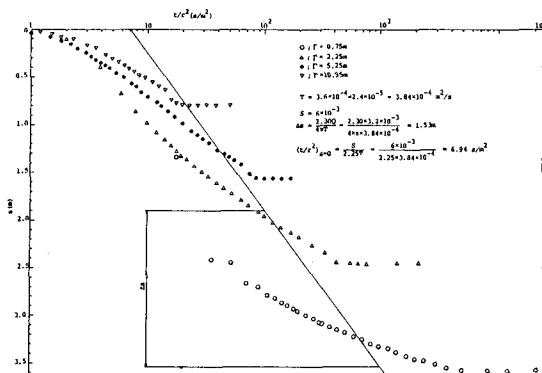


図-7 ケース⑦ の水位低下

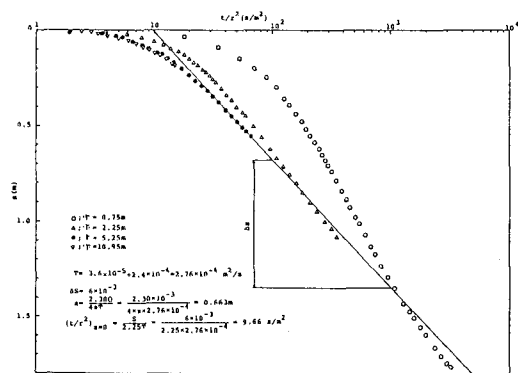


図-8 ケース⑤ の水位低下

3性状が特徴である。図-3(b)は $r_0=0.075\text{ m}$ の小容量の揚水井の場合であるが、図-3(a)の $r_0=0.15\text{ m}$ の場合に較べて、水位低下の遅れが少なく Jacob の直線により漸近している。これと図-7の定圧揚水試験結果を対比すると、定圧揚水では揚水井水位低下を強制的に与えたため定流量の Jacob 直線より早めに水位低下が生じている（ある時間経過後、水位低下が止つくなるのは境界水位を一定にしてある条件：水理干渉によると解釈される）。これらの実験を説明するため、図-4-1揚水流量と流入流量等の関係を描いてある。図-5と図-8は図-3に準じて解釈をやるが水平方向の透水係数が支配的となっている。図-6のケース④は圧縮率を $1/10$ にして水圧伝播を速くして帯水層定数の場合であるが、一定の境界水位による水理干渉が早期に現われ、図-1(左)(c)の型の水位低下を示すパターンと見つける。この場合 Jacob 直線の描き方に上記考察が配慮された変更がある。

1) 宇野尚雄：現地揚水試験における水位低下のパターン、岐阜大学工学部研究報告、No.24, pp.13~23 (1974). 2) 赤井浩一：自由水面と毛管水の揚水試験に対する考察、土と基礎、Vol.12, No.7, pp.15~19 (1964). 3) 岩崎好則ら：揚水試験：おけは観測井の孔壁につけ、第1回土質工学研究発展会概要集、pp.917~920 (1977). 4) 李井ら：土木学会論文報告集、No.268, pp.91~99 (1977).